

# 固体物理译丛

— 问题和习题解答

(下册)

河北师范大学

一九八四年八月

## 9

## 铁磁性、反铁磁性和亚铁磁性

9.1 磁化强度由下式给出

$$M = N\mu L(y), \quad (9.1.1)$$

式中,  $L(y) = \coth y - 1/y$ ;  $y = \mu H_T/kT$ ,  $\mu$  为原子磁偶极矩,  $H_T$  为作用在一个磁偶极子上的总磁场。根据外斯 (Weiss) 的铁磁性分子场理论, 假设

$$H_T = H + N_w M,$$

式中,  $H_m = N_w M$  是内场, 也称为分子场、外斯场或交换场,  $N_w$  是分子场常数。铁磁体在  $T < T_c$  时存在自发磁化, 我们可以令  $H = 0$ 。于是有

$$y = \frac{\mu N_w M(T)}{kT}. \quad (9.1.2)$$

若我们定义  $M(0) = N\mu$ , 则 (9.1.1) 和 (9.1.2) 式可分别写成

$$\frac{M(T)}{M(0)} = L(y)$$

和

$$\frac{M(T)}{M(0)} = \frac{kT}{\mu^2 N N_w} y$$

此两方程可用图解法求解, 即由图 9.1.1 中的两种  $M(T)/M(0)$  对  $y$  曲线的交点决定  $M(T)$ 。

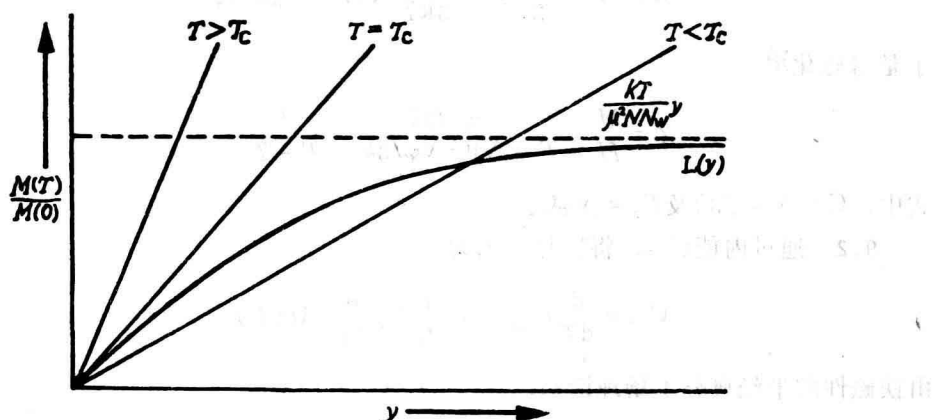


图9.1.1

当  $T < T_c$  时，存在两个可能的解，即  $M(T)/M(0) = 0$  和  $M(T)/M(0) \neq 0$ 。用  $U_0$  表示不存在任何磁化时的内能。当存在磁化时，内能变为

$$U_0 - \int_0^M H_m dM = U_0 - \frac{1}{2} N_w [M(T)]^2.$$

因为磁化状态具有较低的内能，在  $0 < T < T_c$  温度范围内，

$$M(T)/M(0) \neq 0$$

是稳定的态。

与曲线相切的那条直线对应的温度称为居里温度，切点是在  $y = 0$  处，在该点  $M(T) = 0$ 。当  $y \ll 1$  时，<sup>†</sup>

$$L(y) \approx \frac{y}{3} - \frac{y^3}{45}.$$

让两曲线的斜率在  $y = 0$  处相等，便可求得

$$(1.1.6) \quad T_c = \frac{\mu^2 N}{3k} N_w.$$

于是，我们可写出

$$\frac{M(T)}{M(0)} = \left( \frac{T}{3T_c} \right) y.$$

在  $T_c$  附近， $y \rightarrow 0$ ，由此得出在此区域内，

$$\left[ \frac{M(T)}{M(0)} \right]^2 = \frac{5}{3} \left( 1 - \frac{T}{T_c} \right).$$

在顺磁性区域， $T > T_c$ ， $y$  较小。因此

$$M(T) = \frac{N\mu}{3} y = \frac{N\mu^2}{3kT} (H + N_w M).$$

于是得磁化率

$$\chi = \frac{M}{H} = \frac{N\mu^2/3k}{T - N\mu^2 N_w/3k} = \frac{C}{T - T_c}.$$

式中， $C = N\mu^2/3k$  及  $T_c = N_w C$ 。

## 9.2 通过内能 $U_{sp}$ ，将比热表示为

$$C_{sp} = \frac{d}{dT} U_{sp} = - \frac{1}{2} N_w \frac{d}{dT} [M(T)]^2.$$

由铁磁性的半经典分子场理论知，

<sup>†</sup> 原文为  $L(y) \approx \frac{y}{3} - \frac{y^3}{15}$ 。校注。

$$M(T)/M(0) = B_J(x),$$

式中,  $B_J(x)$  是布里渊 (Brillouin) 函数:

$$B_J(x) = \frac{2J+1}{2J} \coth \frac{2J+1}{2J}x - \frac{1}{2J} \coth \frac{x}{2J}$$

及

$$x = \frac{Jg\mu_B}{kT}(H + N_w M).$$

通过类似于解9.1题的步骤, 我们得到

$$M(0) = Ng\mu_B J,$$

$$T_c = \frac{Ng^2\mu_B^2 J(J+1)}{3k} N_w,$$

和

$$\frac{M(T)}{M(0)} = \frac{J+1}{3J} \left( \frac{T}{T_c} \right) x.$$

利用这些表示式, 可将比热写成

$$C_{sp} = - \frac{3JNk}{2(J+1)} \frac{d[M(T)/M(0)]^2}{d(T/T_c)}.$$

当  $J = 1/2$  和  $g = 2$  时,

$$C_{sp} = - \frac{1}{2} Nk \frac{d[M(T)/M(0)]^2}{d(T/T_c)}.$$

此外还有

$$M(T)/M(0) = \tanh hx$$

和

$$M(T)/M(0) = \frac{T}{T_c} x.$$

于是我们有

$$\frac{M(T)}{M(0)} = \tanh \left( \frac{M(T)/M(0)}{T/T_c} \right).$$

然后, 可直接计算出  $\frac{d[M(T)/M(0)]^2}{d(T/T_c)}$ . 这样, 便得到所要求的  $C_{sp}$  的表示式.

当  $T \approx T_c$  时, 为得到  $M(T)/M(0)$ , 可展开  $\tanh \left[ \frac{M(T)/M(0)}{T/T_c} \right]$ , 得

$$M(T)/M(0) = \frac{M(T)/M(0)}{T/T_c} - \frac{1}{3} \left[ \frac{M(T)/M(0)}{T/T_c} \right]^3 + \dots$$

因为  $(T/T_c)^2 \approx 1$ , 上式右边取至第二项, 得

$$\left[ \frac{M(T)}{M(0)} \right]^2 = 3 \left( \frac{T}{T_c} \right)^2 \left( 1 - \frac{T}{T_c} \right) \approx 3 \left( 1 - \frac{T}{T_c} \right).$$

然后, 将它代入  $C_{sp}$  的精确表示式, 得

$$C_{sp} = \frac{3}{2} \left( 3 - \frac{2T_c}{T} \right) Nk.$$

注意, 当温度远低于  $T_c$  时, 此方程的近似程度将很差。

### 9.3 交换哈密顿可以写成

$$H = -2J_e \sum \left[ \frac{1}{2} (S_i^+ S_j^- + S_i^- S_j^+) + S_{zi} S_{zj} \right],$$

式中,  $S^\pm = S_x \pm iS_y$ . 注意,

$$S^+ |\chi_\beta\rangle = 1 |\chi_\alpha\rangle,$$

$$S^- |\chi_\alpha\rangle = 1 |\chi_\beta\rangle,$$

$$S_z |\chi_\alpha\rangle = \frac{1}{2} |\chi_\alpha\rangle$$

及

$$S_z |\chi_\beta\rangle = -\frac{1}{2} |\chi_\beta\rangle.$$

首先, 我们来考虑那些不要对反向自旋  $w$  作运算的项。于是有

$$\frac{1}{2} (S_i^+ S_j^- + S_i^- S_j^+) \chi_w = 0$$

和

$$-2J_e \sum S_{zi} S_{zj} \chi_w = -\frac{1}{4} J_e Z (N-2) \chi_w \quad (i, j \neq w),$$

式中,  $Z$  为最近邻数 (这儿,  $Z = 2$ ), 附加的因子  $1/2$  是考虑到原子对之间的相互作用只应计及一次。对于  $i = w$  的那些项, 我们求得

$$-2J_e \sum_{K=1}^Z \frac{1}{2} (S_w^+ S_{w+K}^- + S_w^- S_{w+K}^+) \chi_w = -J_e \sum_{K=1}^Z \chi_{w+K}$$

式中,  $\chi_{w+K}$  是第  $(W+K)$  个自旋反向而第  $W$  个自旋向上的波函数, 此外还有

$$-2J_e \sum_{K=1}^Z S_{zw} S_{z(w+K)} \chi_w = \frac{1}{2} Z J_e \chi_w.$$

因此，当X是一个本征函数时，应有

$$\sum_{w=1}^N c_w \left[ E + \frac{1}{2} (N-4) J_e \right] X_w + J_e \sum_{w=1}^N c_w (X_{w-1} + X_{w+1}) = 0. \quad (9.3.1)$$

因为周期性边界条件要求  $c_{w+N} = c_w$ ，故后一个求和可以写成  $J_e \sum_{w=1}^N (c_{w+1} + c_{w-1}) X_w$ 。显然，只要对一切w有：

$$c_w \left[ E + \frac{1}{2} (N-4) J_e \right] + J_e (c_{w+1} + c_{w-1}) = 0, \quad (9.3.2)$$

则 (9.3.1) 式成立。

此递推关系式有解

$$c_w = \exp(ikwa),$$

式中，k是波矢（数），a是相邻自旋间的距离。周期性边界条件要求k的取值满足下式：

$$kaN/2\pi = 0, \pm 1, \pm 2, \dots, \pm N/2.$$

将  $c_w$  代入递推关系 (9.3.2) 式，得

$$E + \frac{1}{2} (N-4) J_e + 2J_e \cos ka = 0.$$

当k值很小时，我们求得的自旋波色散关系为

$$E - E_0 = J_e k^2 a^2,$$

式中， $E_0 (= -\frac{1}{2} NJ_e)$  是基态能量。

**9.4** 本题可用几种不同的方法求解，我们所采用的方法物理图象较清晰。与自旋  $\mathbf{S}_i$  相联系的角动量为  $\mathbf{G} = \hbar \mathbf{S}_i$ 。当只有交换力作用时，一个具有磁矩  $\mu_i$  的原子的哈密顿为

$$H_i = -2J_e \mathbf{S}_i \cdot \sum_j \mathbf{S}_j = -g\mu_B \mathbf{S}_i \cdot \left[ \frac{2J_e}{\gamma \hbar} \sum_j \mathbf{S}_j \right] = -\mu_i \cdot \mathbf{H}_e$$

式中，

$$\mathbf{H}_e = \frac{2J_e}{\gamma \hbar} \sum_j \mathbf{S}_j$$

为等效交换场。因为作用在磁矩上的力矩等于  $\mu_i \times \mathbf{H}_e$ ，我们最后得到

$$\frac{d(\hbar \mathbf{S}_i)}{dt} = 2J_e \mathbf{S}_i \times \sum_j \mathbf{S}_j.$$

我们选择一个位于y-z平面的自旋  $\mathbf{S}_i$  作参考自旋，

$$\mathbf{S}_i = S \sin \theta \mathbf{j} + S \cos \theta \mathbf{k}.$$

则直线链上的最近邻， $S_{i-1}$ 和 $S_{i+1}$ ，将相对于 $S_i$ 分别绕z轴进动一个角度 $-ka$ 和 $+ka$ 。所以有

$$S_{i+1} = -S \sin \theta \sin ka \mathbf{i} + S \sin \theta \cos ka \mathbf{j} + S \cos \theta \mathbf{k}$$

和

$$S_{i-1} = S \sin \theta \sin ka \mathbf{i} + S \sin \theta \cos ka \mathbf{j} + S \cos \theta \mathbf{k}.$$

若 $\omega$ 为进动角速度，则运动方程为<sup>t</sup>  
 $\frac{d}{dt} \omega \rho \mathbf{i} = 4J_e S^2 \sin \theta \cos \theta (1 - \cos ka) \mathbf{i}.$

当 $k$ 很小时， $\cos ka \approx 1 - \frac{1}{2} k^2 a^2$ ，上式近似为

$$\frac{d}{dt} \omega \rho = 2J_e S^2 k^2 a^2 \sin \theta \cos \theta.$$

又因为 $\sin \theta = \rho / S$ ， $\cos \theta \approx 1$ 以及 $S = 1/2$ ，所以

$$\frac{d}{dt} \omega = J_e k^2 a^2.$$

9.5 在二维情况下，在 $k$ 至 $k + dk$ 之间的状态数为

$$C(k) dk = \frac{2\pi k dk V}{(2\pi)^2}.$$

对于 $E_k = J_e k^2 a^2$ 的自旋波（见9.3和9.4题），有

$$C(E_k) dE_k = \frac{V}{4\pi J_e a^2} \frac{1}{dE_k} dE_k.$$

在温度为 $T$ 时激发的自旋波平均数 $\bar{n}$ 为

$$\bar{n} = \int_0^\infty \bar{n}_k C(E_k) dE_k, \quad (9.5.1)$$

式中， $\bar{n}_k$ 是温度为 $T$ 时波矢为 $k$ 的自旋波平均数。因为自旋波（spin-wave）或自旋波量子（magnon）气遵从玻色—爱因斯坦统计，而且是完全简并化的，分布律为

$$\bar{n}_k = \frac{1}{\exp(E_k/kT) - 1},$$

代入(9.5.1)式，得

$$\bar{n} = \frac{V k T}{4\pi J_e a^2} \int_0^\infty \frac{dx}{e^x - 1},$$

式中 $x = E_k/kT$ 。积分<sup>tt</sup>

$$\int_0^\infty \frac{dx}{e^x - 1} = -[x - \ln(e^x - 1)] \Big|_0^\infty$$

<sup>t</sup> 原文为  $\frac{d}{dt} \omega \rho \mathbf{i} = 2S^2 \sin \theta \cos \theta (1 - \cos ka) \mathbf{i}$ 。一译注。

<sup>tt</sup> 原文等式右边漏了一个负号。一译注。

在积分下限处发散。由激发自旋波引起自发磁化强度的变化 $\Delta M$ 恰好是

$$n/N = \Delta M/M(0).$$

式中 $N$ 为原子磁偶极子的数目。显然， $n \rightarrow \infty$ 意味着 $M(0) \rightarrow 0$ 从而不可能出现铁磁性。

### 9.6 磁化强度等于 $\mu_B$ 乘以自旋平行与反平行的电子数之差，即<sup>†</sup>

$$M = \mu_B \int \{ F(E(k) - \xi N_w N \mu_B^2) - F(E(k) + \xi N_w N \mu_B^2) \} \frac{C(E)}{V} dE.$$

式中， $F(E)$ 是费密—狄拉克分布函数

$$F(E) = \frac{1}{\exp[(E - E_F)/kT] + 1},$$

$E_F$ 为不存在磁相互作用的费密能级； $2C(E)dE$ 为 $E - E_F + dE$ 能量范围内电子气的状态数

$$2C(E)dE = \frac{2V}{(2\pi)^2} \left( \frac{2m^*}{\hbar^2} \right)^{3/2} E^{1/2} dE,$$

此外， $E(k) = \frac{\hbar^2 k^2}{2m^*}$ 。

在 $T = 0K$ 时，

$$\begin{aligned} F(E) &= 1 && \text{当 } E < \xi N N_w \mu_B^2 + E_F, \\ F(E) &= 0 && \text{当 } E > \xi N N_w \mu_B^2 + E_F. \end{aligned}$$

因而

$$\begin{aligned} M &= \frac{\mu_B}{(2\pi)^2} \left( \frac{2m^*}{\hbar^2} \right)^{3/2} \left( \int_0^{E_F + \xi N N_w \mu_B^2} E^{1/2} dE - \int_0^{E_F - \xi N N_w \mu_B^2} E^{1/2} dE \right) \\ &= \frac{\mu_B}{6\pi^2} \left( \frac{2m^*}{\hbar^2} \right)^{3/2} [(E_F + \xi N N_w \mu_B^2)^{3/2} - (E_F - \xi N N_w \mu_B^2)^{3/2}]. \end{aligned}$$

为方便起见，在着手寻找题中所要求的条件之前，引入下述表示法：

$$K\theta' = N N_w \mu_B^2$$

和

$$C(E)dE = bE^{1/2}dE,$$

式中 $b$ 为常数。当不存在磁相互作用时，费密能级由下述条件确定：

$$N = 2 \int_0^{E_F} C(E)dE = \frac{4}{3} b E_F^{3/2}.$$

于是有<sup>†</sup>

$$b = \frac{3}{4} N E_F^{-3/2}.$$

式中 $N$ 是体系中3d电子的数目。

<sup>†</sup> 原文中，被积函数的最后一因子为 $C(E)/2V$ 。——译注。

首先，考虑费密能级  $E_F$  以下的一切态均被数目相等的自旋向上和向下的电子填充（参看图9.6.1a）。若倒转一些向下的自旋将导致体系总能量降低，则体系是铁磁性的。每个被倒转自旋的电子，其能量增加  $\Delta$ ，如图9.6.1b所示。

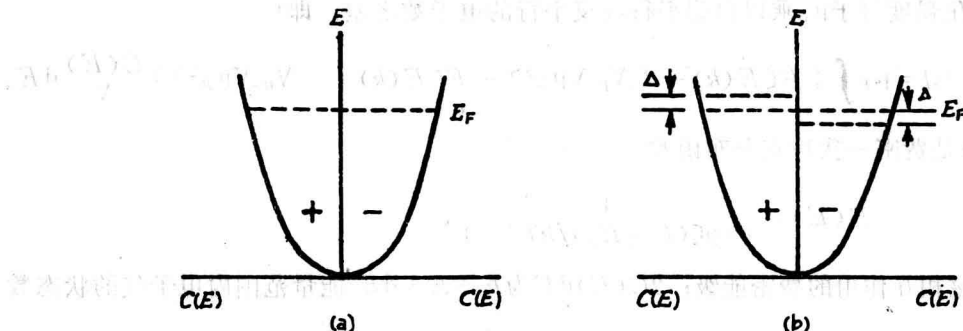


图9.6.1

$$n = C(E_F)\Delta = bE_F^{1/2}\Delta,$$

增加的能量为

$$n\Delta = C(E_F)\Delta^2.$$

总磁化强度还下式给出：

$$M = 2n\mu_B = 2\mu_B C(E_F)\Delta.$$

因为分子场等于  $\frac{k\theta'}{N\mu_B^2} M$ ，故体系的磁能改变为

$$F_e = -\frac{1}{2}M\left(\frac{k\theta'}{N\mu_B^2} M\right) = -2\frac{k\theta'}{N}[C(E_F)]^2\Delta^2.$$

若出现铁磁性，上述两能量改变量之和必须是负的，即应满足

$$C(E_F)\Delta^2 - 2\frac{k\theta'}{N}[C(E_F)]^2\Delta^2 < 0,$$

或

$$\frac{k\theta'}{E_F} > \frac{2}{3}.$$

即使体系是铁磁性的，未必能得出基态是饱和的结论，亦即，不一定满足  $M = N\mu_B (\xi = 1)$ 。我们来考虑除一个自旋向下外其余的自旋均向上的态，能量低于  $E_{max}$  的所有向上自旋态被填充，若倒转那个向下的自旋会使体系能量降低，则基态便是饱和的。为倒转那个向下的自旋，必须提升能量  $E_{max}$ 。 $E_{max}$  由下式确定：

$$N = \int_0^{E_{max}} C(E) dE.$$

结果为

$$E_{\max} = 2^{2/3} E_F.$$

因为是在场  $k\theta'/\mu_B$  中反转那个向下的自旋，故磁能的变化为

$$F_e = -2\mu_B \left( \frac{k\theta'}{\mu_B} \right) = -2k\theta'.$$

由此可知，若总能量变化为负的，即

$$2^{2/3} E_F - 2k\theta' < 0,$$

或

$$\frac{k\theta'}{E_F} > 2^{-1/3} (= 0.794),$$

则基态将是饱和的。

**9.7** 设  $M_d$  和  $M_c$  分别为 3d 和 4s 电子对磁化强度的贡献， $H_d$  和  $H_c$  分别为 3d 和 4s 电子上的有效场。为方便起见，考虑外加磁场  $H$ 。采用分子场近似，有

$$H_d = H + N_w M_c$$

和

$$H_c = H + N_w M_d.$$

按题意， $M_d$  遵从居里定律，

$$M_d/H_d = C/T,$$

传导电子的泡利磁化率为

$$\frac{M_c}{H_c} = \chi_{para} \left( \frac{3N\mu_B^2}{2E_F} \right).$$

利用上述几式得

$$TM_d = C(H + N_w M_c)$$

和

$$M_c = \chi_{para} (H + N_w M_d).$$

为了使  $M_c$  和  $M_d$  在  $H = 0$  时有非平凡解，其系数行列式必须等于零，即

$$\begin{vmatrix} T_c & -CN_w \\ -\chi_{para} N_w & 1 \end{vmatrix} = 0,$$

由此得

$$T_c = \chi_{para} CN_w^2.$$

**9.8** 假设每个粒子具有自旋  $1/2$ 。对于  $S = 1$ ， $M_s = -1$ 、 $0$  和  $+1$  的态，能量分别为  $c + 2\mu H$ 、 $c$  和  $c - 2\mu H$ ；而  $S = 0$  时，能量为  $-c$ 。显然，配分函数为

$$Z = \sum_j e^{-E_j/kT} = e^{c/kT} + e^{-c/kT} + e^{-(c-2\mu H)/kT} + e^{-(c+2\mu H)/kT}$$

$$= 2[\cosh(c/kT) + e^{-c/kT} \cosh(2\mu H/kT)].$$

因为

$$M = NkT \frac{\partial \ln Z}{\partial H},$$

故

$$M = \frac{4N\mu}{Z} e^{-c/kT} \sinh(2\mu H/kT).$$

本题也可用经典方法处理。容易证明， $M$ 的结果在形式上是一样的，但配分函数变成了

$$Z = 2[e^{c/kT} + e^{-c/kT} \cosh(2\mu H/kT)].$$

(i) 当  $|\mu H| \ll kT$ ,  $|c| \ll kT$  时,

$$\sinh(2\mu H/kT) \rightarrow 2\mu H/kT, \quad \cosh(2\mu H/kT) \rightarrow 1,$$

$$\cosh(c/kT) \rightarrow 1, \text{ 以及 } e^{-c/kT} \rightarrow 1.$$

因此,

$$M \approx \frac{2N\mu^2 H}{kT},$$

这正是居里定律。因此，体系表现为顺磁质。当热激发大大超过磁能时，预期会有这一结果。

(ii) 当  $|\mu H| \ll kT$ ,  $|c| \gg kT$ ,  $c < 0$  时,

$$Z = 2\cosh(c/kT) + 2e^{-c/kT} \approx 3e^{-c/kT},$$

从而有

$$M \approx \frac{8N\mu^2 H}{3kT} = \frac{2N(2\mu)^2 H}{3kT},$$

其形式也是居里定律。不过，现在粒子对内部是“铁磁性”耦合，而粒子对的集合则表现为顺磁质。

(iii) 当  $|\mu H| \ll kT$ ,  $|c| \gg kT$ ,  $c > 0$  时,

$$Z = 2\cosh(c/kT) + 2e^{-c/kT} \approx e^{c/kT},$$

磁化强度

$$M = \frac{8N\mu^2 H}{kT} e^{-2c/kT} \approx 0,$$

因为这时粒子对内部是“反铁磁性”耦合，预期会出现这种结果。

(iv) 当  $|c| \ll kT \ll |\mu H|$  时,

$$Z \approx 2\cosh(2\mu H/kT),$$

并有

$$M \approx 2N\mu \tanh(2\mu H/kT) \approx 2N\mu,$$

表现为饱和顺磁体。当交换作用小而外加磁场强时，这也是预期的结果。

(v) 在  $kT \ll |\mu H| \ll |c|$ ,  $c < 0$  时, 有

$$Z \approx e^{-c/kT} [1 + 2\cosh(2\mu H/kT)]$$

和

$$M = \frac{4N\mu \sinh(2\mu H/kT)}{1 + 2\cosh(2\mu H/kT)} \approx 2N\mu \tanh(2\mu H/kT) \approx 2N\mu.$$

体系为自旋完全整齐排列的铁磁体。

(vi) 最后, 当  $kT \ll |\mu H| \ll |c|$ ,  $c > 0$  时, 有

$$Z \approx e^{c/kT}$$

及

$$M = 4N\mu e^{-2c/kT} \sinh(2\mu H/kT) \approx 2N\mu e^{-2(c-\mu H)/kT} \approx 2N\mu e^{-2c/kT} \approx 0,$$

在这种近似下, 体系相应于一个整齐排列的反铁磁体。

9.9 对于一个立方晶体, 晶态各向异性自由能可以表示为

$$F_K = K_1(\alpha_1^2 \alpha_2^2 + \alpha_2^2 \alpha_3^2 + \alpha_3^2 \alpha_1^2) + K_2 \alpha_1^2 \alpha_2^2 \alpha_3^2,$$

式中,  $\alpha_1$ 、 $\alpha_2$  和  $\alpha_3$  是磁化强度对立方棱的方向余弦,  $K_1$  和  $K_2$  在给定的温度下是常数。关于本题的第一部分, 我们有  $\alpha_1 = \cos\phi$ ,  $\alpha_2 = \sin\phi$  和  $\alpha_3 = 0$ 。因为  $\sin 2\phi = 2\cos\phi\sin\phi$ ,  $\sin^2 2\phi = (1 - \cos 4\phi)/2$ , 由此得出

$$F_K = \frac{1}{8} K_1 (1 - \cos 4\phi).$$

磁场中的附加自由能由下式给出

$$F_H = -MH \cos(\theta - \phi).$$

若其他能量可忽略不计, 则总自由能应为

$$F_T = F_K + F_H.$$

利用平衡时  $\partial F_T / \partial \phi = 0$ , 得平衡条件

$$\frac{1}{2} K_1 \sin 4\phi = MH \sin(\theta - \phi).$$

当磁场为无限大时, 磁化强度将平行于外磁场, 这时,  $\theta = \phi$ , 可求出力矩  $T$  为

$$T = -\partial F_T / \partial \theta = -\frac{1}{2} K_1 \sin 4\theta.$$

对于沿 (110) 面切下的圆片, 方向余弦为:  $\alpha_1 = (\cos\theta)/\sqrt{2}$ ,  $\alpha_2 = (\cos\theta)/\sqrt{2}$  和  $\alpha_3 = \sin\theta$ 。 $\theta$  为  $M$  (及  $H$ ) 与 [110] 晶向的夹角。这时,

$$F_K = \frac{1}{4} K_1 (\cos^4 \theta + 4\sin^2 \theta \cos^2 \theta) + \frac{1}{4} K_2 \sin^2 \theta \cos^4 \theta,$$

由此得出<sup>t</sup>

$$T = -\frac{1}{8}K_1(-2\sin 2\theta + 3\sin 4\theta) - \frac{1}{64}K_2(-\sin 2\theta + 4\sin 4\theta + 3\sin 6\theta).$$

### 9.10 吉布斯 (Gibbs) 函数定义为

$$G = E - TS,$$

式中,  $E$  为焓

$$E = U - HM - \sigma \int d\left(\frac{\delta l}{l}\right),$$

$U$  为内能;  $S$  为熵;  $\delta l/l$  为样品的相对伸长。在恒温下, 并注意到  $dU = Tds + Hdm$ , 有

$$dG = -MdH - \frac{\delta l}{l}d\sigma.$$

因  $dG$  是个全微分, 从而有

$$\left(\frac{\partial M}{\partial \sigma}\right)_H = \frac{1}{l} \left(\frac{\partial l}{\partial H}\right)_\sigma.$$

### 9.11 磁标势由下式给出

$$\varphi = -\mathbf{M} \cdot \oint \nabla \frac{1}{r} dv.$$

对于球外的点, 即  $r > a$  时,

$$\varphi = \frac{M \cos \theta}{r^2} \int_0^{\frac{4}{3}\pi r^3} dv = \frac{4}{3}\pi Ma^3 \frac{\cos \theta}{r^2},$$

对于球内的点, 即  $r < a$  时, 根据高斯定理, 半径为  $r$  的球面以外的材料对势无贡献, 所以有

$$\varphi = \frac{M \cos \theta}{r^2} \int_0^{\frac{4}{3}\pi r^3} dv = \frac{4}{3}\pi Mr \cos \theta.$$

因为

$$\mathbf{H} = -\nabla \varphi = -\frac{\partial \varphi}{\partial r} \mathbf{r} - \frac{1}{r} \frac{\partial \varphi}{\partial \theta} \boldsymbol{\theta} - \frac{1}{r \sin \theta} \frac{\partial \varphi}{\partial \phi} \boldsymbol{\phi},$$

由此得出样品内的磁场为

$$\mathbf{H}' = -\frac{4}{3}\pi M(\cos \theta \mathbf{r} - \sin \theta \boldsymbol{\theta}) = -\frac{4}{3}\pi \mathbf{M}.$$

根据定义,  $\mathbf{H}' = -D\mathbf{M}$ , 因而球的退磁因子为

<sup>t</sup> 原文为  $T = -\frac{1}{8}K_1(2\sin 2\theta + 3\sin 4\theta) - \frac{1}{64}K_2(\sin 2\theta + 4\sin 4\theta - 3\sin 6\theta)$ . —校者。

$$D = \frac{4}{3} \pi \cdot$$

9.12 在一般情况下，磁性自能由下式给出：

$$F_D = -\frac{1}{2} \int \mathbf{M} \cdot \mathbf{H}' dv = \frac{1}{2} \int \mathbf{M} \cdot \nabla \varphi dv.$$

考虑到

$$\frac{1}{2} \int \nabla \cdot (\mathbf{M} \varphi) dv = \frac{1}{2} \int \varphi \nabla \cdot \mathbf{M} dv + \frac{1}{2} \int \mathbf{M} \cdot \nabla \varphi dv$$

或

$$\frac{1}{2} \int \varphi \mathbf{M} \cdot \mathbf{n} dS = \frac{1}{2} \int \varphi \rho dv + F_D.$$

得

$$F_D = -\frac{1}{2} \int \rho \varphi dv + \frac{1}{2} \int \sigma \varphi dS,$$

式中， $\rho (= \nabla \cdot \mathbf{M})$  是体磁荷密度， $\sigma (= \mathbf{M} \cdot \mathbf{n})$  是表面磁荷密度。

用  $S_1$  和  $S_2$  分别表示样品的外表面和内表面， $\sigma_1$  和  $\sigma_2$  分别表示外、内表面上的磁荷密度。并用  $\varphi_i$  表示  $\sigma_i$  引起的磁标势， $\sigma_i$  产生的磁场则记作  $\mathbf{H}_i = -\nabla \varphi_i$ 。因为  $\rho = 0$ ，我们得到

$$F_D = \frac{1}{2} \int_{S_1} \sigma_1 \varphi_1 dS_1 + \frac{1}{2} \int_{S_1} \sigma_1 \varphi_2 dS_1 + \frac{1}{2} \int_{S_2} \sigma_2 \varphi_1 dS_2 + \frac{1}{2} \int_{S_2} \sigma_2 \varphi_2 dS_2.$$

第一项是  $\sigma_1$  在它自己的场  $H_1'$  中的能量， $H_1'$  在  $v_1$  中是均匀的；此能量与一个内部无空腔且具有均匀磁化强度  $\mathbf{M}$  的椭球的能量相等，亦即  $-\frac{1}{2} \int_{v_1} \mathbf{M} \cdot \mathbf{H}_1' dv$ 。最后一项是  $\sigma_2$  在它自己的场  $H_2'$  中的能量， $H_2'$  在  $v_2$  中是均匀的；此能量与一个恰好能填没空腔  $v_2$  并具有均匀磁化强度  $-\mathbf{M}$  的椭球的能量相等，亦即  $+\frac{1}{2} \int_{v_2} \mathbf{M} \cdot \mathbf{H}_2' dv$ 。因为  $\varphi_i = \int \frac{\sigma_i}{r} dS_i$ ，故第二项与第三项相等，它们一起构成了两个磁极分布间的互作用能。因为  $H^2'$  在  $v_2$  中是均匀的，而  $H_2'$  在  $v_1$  中（除  $v_2$  外）并非均匀，我们可以用第三项代替第二项。第三项等于一个恰好能填没空腔且具有均匀磁化强度  $-\mathbf{M}$  的物体在磁场  $\mathbf{H}_1'$  中的能量，亦即  $+\frac{1}{2} \int_{v_2} \mathbf{M} \cdot \mathbf{H}_1' dv$ 。<sup>t</sup>

由上述分析我们得到

<sup>t</sup> 原文为  $+\frac{1}{2} \int \mathbf{M} \cdot \mathbf{H}_2' dv$  ——译注。

$$F_D = -\frac{1}{2} \int_{V_1} \mathbf{M} \cdot \mathbf{H}_1' dV + \int_{V_2} \mathbf{M} \cdot \mathbf{H}_1' dV + \frac{1}{2} \int_{V_2} \mathbf{M} \cdot \mathbf{H}_2' dV.$$

其次，我们设椭球面  $S_i$  具有沿  $(x_i, y_i, z_i)$  的主轴，退磁化因子为

$$\mathbf{D} = \begin{pmatrix} D_{xi} & 0 & 0 \\ 0 & D_{yi} & 0 \\ 0 & 0 & D_{zi} \end{pmatrix}.$$

再假定磁化强度  $\mathbf{M}$  对  $(x_i, y_i, z_i)$  轴的方向余弦为  $(l_i, m_i, n_i)$ 。于是有

$$\mathbf{H}_1' = -\mathbf{D} \cdot \mathbf{M} = -M(l_i D_{xi} \mathbf{i}_1 + m_i D_{yi} \mathbf{j}_1 + n_i D_{zi} \mathbf{k}_1),$$

和

$$\mathbf{H}_2' = M(l_2 D_{x2} \mathbf{i}_2 + m_2 D_{y2} \mathbf{j}_2 + n_2 D_{z2} \mathbf{k}_2).$$

最后，我们得<sup>†</sup>

$$F_D = \frac{M^2}{2} [(l_1^2 D_{x1} + m_1^2 D_{y1} + n_1^2 D_{z1})(v_1 - 2v_2) + (l_2^2 D_{x2} + m_2^2 D_{y2} + n_2^2 D_{z2})v_2].$$

9.13 因为  $\varphi = \int_S \frac{\mathbf{M} \cdot \mathbf{n}}{r} dS$ ，故在空气隙中心处的磁场由下述积分给出：

$$H = \int_S \frac{\mathbf{M} \cdot \mathbf{n}}{r^2} \cos \alpha dS = 2 \int_{S_1} \frac{\mathbf{M} \cdot \mathbf{n}}{r^2} \cos \alpha dS_1 + 2 \int_{S_2} \frac{\mathbf{M} \cdot \mathbf{n}}{r^2} \cos \alpha dS_2,$$

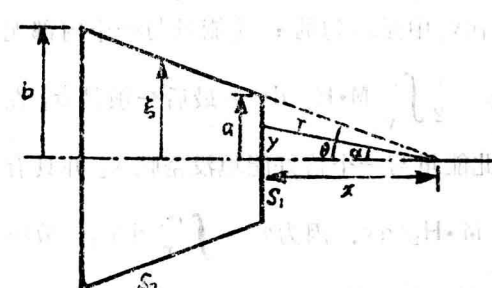


图9.13.1

式中， $S_1$  和  $S_2$  分别为磁极的平表面和锥形侧面，其他符号的意义见图9.13.1。对于表面  $S_1$ ，有

$$\begin{aligned} \mathbf{M} \cdot \mathbf{n} &= M, \\ r^2 &= x^2 \sec^2 \alpha, \\ dS_1 &= 2\pi y dy, \\ y &= x \tan \alpha, \end{aligned}$$

以及  $dy = x \sec^2 \alpha d\alpha$ 。

对于第二个面，则有

$$\mathbf{M} \cdot \mathbf{n} = M \sin \theta,$$

$$dS_2 = \frac{2\pi \xi}{\sin \theta} d\xi, \quad r^2 = \frac{\xi^2}{\sin^2 \theta}, \text{ 及 } \cos \alpha = \cos \theta.$$

代入前式，得

<sup>†</sup> 原文漏印  $M^2$  —— 校注。

$$H = 4\pi M \left[ \int_0^\theta \sin \alpha d\alpha + \sin^2 \theta \cos \theta \int_a^b \frac{d\xi}{\xi} \right] \\ = 4\pi M [1 - \cos \theta + \sin^2 \theta \cos \theta \ln(b/a)].$$

若不计两平表面  $S_1$  的贡献，则

$$H = 4\pi M \sin^2 \theta \cos \theta \ln(b/a).$$

此场为最大值时，满足  $\partial H / \partial \theta = 0$ ，由此得

$$\tan \theta = \sqrt{2}, \quad \text{或} \quad \theta = 54^\circ 44',$$

当然，若计及  $S_1$  的贡献，则总磁场为最大值的  $\theta$  应是  $b/a$  的函数。

**9.14** 令  $\alpha$  为极轴与磁化强度  $M$  的方向之间的夹角， $\phi$  为  $H$  和  $M$  之间的夹角， $\phi = \theta + \alpha$ 。退磁化自由能由下式给出（参看9.12题）：

$$F_D = \frac{1}{2} M^2 (D_a \cos^2 \alpha + D_b \sin^2 \alpha) V$$

$$\text{故而 } F_D = \frac{1}{4} (D_a + D_b) M^2 V - \frac{1}{4} (D_b - D_a) M^2 V \cos 2\alpha,$$

式中， $V = \frac{4}{3} \pi a b^2$ 。在外加场中的自由能为

$$F_H = -HMV \cos \phi.$$

若可以假定对自由能的其他贡献为零，则总自由能  $F_T = F_D + F_H$ 。

当总自由能由一个极小值变为极大值时， $H$  就达到了磁化强度发生跃变的临界场，极小、极大转变发生的条件为

$$\frac{\partial F_T}{\partial \phi} = \frac{\partial^2 F_T}{\partial \phi^2} = 0.$$

利用此条件可得两个联立的方程：

$$h_{crit} \sin \phi_c + \frac{1}{2} \sin 2(\phi_c - \theta) = 0,$$

$$h_{crit} \cos \phi_c + \cos 2(\phi_c - \theta) = 0.$$

消去  $h_{crit}$ ，得

$$2 \tan(\theta + \alpha_c) = \tan 2\alpha_c.$$

展开正切函数后得

$$\tan^3 \alpha_c = \tan \theta = w^3.$$

于是有

$$\phi_c = \theta + \tan^{-1} w,$$

进而得

$$\tan\phi_c + \frac{\tan\theta + w}{1 - w\tan\theta} = \frac{w}{1 - w^2} = \frac{1}{2}\tan 2\alpha_c,$$

由此得出

$$\sin 2\alpha_c = \frac{2w}{w^2 + 1} \quad \text{和} \quad \sin\phi_c = \frac{w}{(1 - w^2 + w^4)^{1/2}}.$$

所以，临界场为

$$h_{crit} = -\frac{1}{2} \frac{\sin 2\alpha_c}{\sin\phi_c} = -\frac{(1 - w^2 + w^4)^{1/2}}{(1 + w^2)}.$$

当  $\theta = 0^\circ, 10^\circ, 45^\circ$  和  $80^\circ$  时，分别有  $h_{crit} = -1.000, -0.674, -0.500$  和  $-0.674$ 。

### 9.15 两个磁偶极子的相互作用能为

$$F_{dd} = \frac{\mu_i \mu_j}{r_{ij}^3} [\cos(\theta_i - \theta_j) - 3\cos\theta_i \cos\theta_j],$$

式中， $\theta_i$  和  $\theta_j$  分别为第  $i$  和第  $j$  个磁偶极矩与连接两球心的矢径  $r_{ij}$  之间的夹角。若磁化反向过程是通过各球的磁矩作平行一致的转动进行，即对于一切球，有  $\theta_i = \theta_j$ ，则对四个球的链有

$$F_{dd} = \frac{\mu^2}{(2a)^3} (1 - 3\cos^2\theta) \left(3 + \frac{1}{4} + \frac{1}{27}\right) = \frac{355}{108} \frac{\mu^2}{(2a)^3} (1 - 3\cos^2\theta).$$

将此结果推广到  $n$  个球的链，有

$$F_{dd} = \frac{\mu^2}{(2a)^3} \sum_{j=1}^n \frac{(n-j)}{j^3} (1 - 3\cos^2\theta).$$

因为外加场  $H$  沿键的轴向，故与外场的相互作用自由能  $F_H = 4\mu H \cos\theta$ 。总自由能  $F_T$  正是上述两种自由能之和。在平衡条件下， $\partial F / \partial \theta = 0$ ，从而有

$$H = \frac{3}{2} \frac{355}{108} \frac{\mu}{(2a)^3} \cos\theta.$$

在考虑了二阶导数和磁滞回线的细节后可以证明，矫顽力对应于  $\theta = 0^\circ$ 。因此有

$$H_c = 4.93 \frac{\mu}{(2a)^3}.$$

若磁化反向过程是通过对称扇形转动进行，即  $\theta_2 = -\theta_1 = \theta_4 = -\theta_3$ ，则

$$\begin{aligned} F_{dd} &= \frac{\mu^2}{(2a)^3} \left[ (\cos 2\theta - 3\cos^2\theta) \times \left(3 + \frac{1}{27}\right) + (1 - 3\cos^2\theta) \times \frac{1}{4} \right] \\ &= \frac{\mu^2}{(2a)^3} \left( \frac{82}{27} \cos 2\theta - \frac{355}{36} \cos^2\theta \right). \end{aligned}$$

对于  $n$  个球的链，有